

ИССЛЕДОВАНИЕ РЕЛЯТИВИСТСКОЙ КИНЕТИЧЕСКОЙ МОДЕЛИ СПОНТАННОГО НАРУШЕНИЯ СИММЕТРИИ В КОСМОЛОГИЧЕСКОЙ ПЛАЗМЕ СРЕДСТВАМИ ПАКЕТА Maple

Алсмади К.

E-mail: smadi2002@maktoob.com

Татарский государственный гуманитарно-педагогический университет, Казань

Аннотация. Средствами пакета Maple на основе релятивистской кинетической модели процессов спонтанного нарушения симметрии построена и исследована численная модель процесса бариогенезиса в космологической плазме.

The research of the relativistic kinetic model of spontaneous symmetry breaking in the cosmological plasma by tools package Maple

Alsmadi K.

Abstract. By means of Maple packet on the basis of relativistic kinetic model of spontaneous symmetry breakdown processes the numerical model of baryogenesis process in cosmological plasma is constructed and researched.

В середине 80-х - начале 90-х годов Ю.Г.Игнатьевым была сформулирована кинетическая модель описания процессов нарушения симметрии и были получены некоторые оценки, вытекающие из предложенной модели [1]-[3]. В частности, на основе сделанных оценок было высказано предположение, что учет кинетики процесса бариогенезиса позволит снизить нижнюю оценку массы сверхмассивных бозонов до величины порядка $5 \cdot 10^{14}$ Гэв. Однако детальный анализ этой модели в этих работах произведен не был и в силу внешних обстоятельств исследования в этом направлении не были завершены. В работах [5], [6] идеи Ю.Г.Игнатьева были развиты и была сформулирована математическая модель бариогенезиса в горячей вселенной. С математической точки зрения эта модель сводится в конечном итоге к решению обыкновенных линейных дифференциальных уравнений первого порядка. Однако, полученное формальное решение задачи выражается через пятикратные плохо сходящиеся интегралы, что чрезвычайно усложняет исследование модели бариогенезиса. Целью настоящей работы как раз и является проведение более детального анализа кинетической модели бариогенезиса и построение его математической и численной компьютерной модели средствами компьютерной математики.

Удельная энтропия барионов

В [6] было показано, что функция распределения X-бозонов в линейном по нарушению симметрии приближении равна:

$$f_X(\mathbb{P}, t) = f_X^0(0; \mathbb{P}, 0) + \delta f_0(\mathbb{P}, t) + \delta f(\lambda), \quad (1)$$

где $\delta f(\lambda)$ - линейный и четный по λ функционал, не вносящий вклад в окончательный результат; а δf - отклонение от равновесия функции распределения:

$$\delta f_0(\mathbb{P}, t) = -e^{-\Phi(\mathbb{P}, t)} \int_0^t e^{\Phi(\mathbb{P}, t')} f_0(0; \mathbb{P}, t') dt' \quad (2)$$

- отклонение от равновесия бозонной функции распределения в симметричной плазме $\lambda = 0$, и введено обозначение:

$$\Phi(\mathbb{P}, t) = \frac{1}{\tau_0} \int_0^t \frac{a(t') \beta_0(\mathbb{P}, t') dt'}{\sqrt{a^2(t') + \mathbb{P}^2/m_X^2}}; \quad (3)$$

τ_0 - собственное время распада свободного X-бозона: $\tau_0 = \frac{4\pi m_X}{s^2} \sim \frac{3}{2} (m_X \alpha)^{-1}$.

Поскольку фермионы находятся в состоянии ЛТР и являются ультрарелятивистскими, в условиях слабого нарушения CP - инвариантности, когда $\lambda_a \ll 1$ можно получить приближенное соотношение:

$$\mathcal{N} \approx \frac{3}{2} \frac{T^3 \zeta(3)}{\pi^2} + \lambda \frac{T^3}{6} \Rightarrow \Delta N_a \approx \lambda_a \frac{T^3}{3}. \quad (4)$$

В стандартной SU(5) модели вероятности распада X-бозона в лептонном, (qe), и кварковом, ($\bar{q}\bar{q}$), каналах одинаковы¹, т.е., $1 - 2r = O^1(\Delta r)$. С учетом этого фактора в стандартной SU(5) модели можно получить

¹с учетом цветов и ароматов

одно замкнутое уравнение первого порядка на величину $B = u + 2d$, т.е., на избыточную концентрацию барионов $\Delta\mathcal{N}_B = \frac{1}{3}\mathcal{N}_B T^3$, интегрируя которое с учетом начальных условий, найдем:

$$\Delta\mathcal{N}_B(\infty) = \frac{4\Delta r N_X}{3\pi^2} \int_0^\infty \exp\left(-\int_t^\infty \Psi(t') dt'\right) G(t) dt, \quad (5)$$

где

$$\Psi(t) = \frac{2N_X}{\pi^2 T^3} \int_0^\infty \mathbb{P}^2 \dot{\Phi} f_0 \beta_0 d\mathbb{P}, \quad (6)$$

$$G(t) = \frac{1}{\pi^2} \int_0^\infty \mathbb{P}^2 \dot{\Phi} \delta f_0 d\mathbb{P}. \quad (7)$$

Остается теперь вычислить величину $\delta_S = \delta n_B/S$; тем самым задача формально решена и удельная энтропия определяется в квадратурах:

$$\delta_S = \frac{\Delta\mathcal{N}_B}{S}. \quad (8)$$

Исследование решения

В дальнейшем будем полагать, что, во-первых, X-бозоны распадаются, в основном, на промежуточных стадиях расширения, когда $T \sim m_X$, и, во-вторых, что доля X-бозонов достаточно мала, по сравнению с общим числом частиц: $N_X \ll N$, так что с достаточной степенью точности космологическую плазму на стадии распада X-бозонов можно считать ультрарелятивистской. Это дает нам законы изменения масштабного фактора и температуры со временем:

$$a(t) = a_0 \sqrt{t}; \quad T = \mathcal{T}_0 \frac{1}{\sqrt{t}}, \quad (9)$$

где \mathcal{T}_0 есть температура плазмы в планковских единицах на планковский же момент времени. Исследуем линейное решение, для чего перейдем от переменных t, p к новым переменным η, ξ : $t = \tau_0 \eta$, $p = \frac{1}{\sqrt{\eta}} m_X \xi$; $\Rightarrow \mathbb{P} = m_X \xi \sqrt{\tau_0}$. где τ_0 - собственное время распада свободного X-бозона, таким образом значению безразмерного времени $\eta = 1$ соответствует время $t = \tau_0$. Введем далее безразмерный параметр σ [3], зависящий от констант полевой теории²:

$$\sigma = \frac{m_X}{T(\tau_0)} = \frac{m_X \sqrt{\tau_0}}{\mathcal{T}_0} = \frac{\chi \sqrt{m_X}}{\sqrt{\alpha \mathcal{T}_0}}, \quad (10)$$

равный отношению массы X-бозона к температуре на момент его полураспада, где χ - безразмерный параметр порядка 1, зависящий от параметров полевой теории, α - константа взаимодействия (от 0.1 до 0.01).

Как показали проведенные исследования, конечные результаты вычислений весьма слабо чувствительны к учету статистических факторов при вычислении функции $\Phi(\eta, \xi)$, тогда как в то же время они весьма чувствительны к учету статистических факторов на других этапах вычислений. Поэтому в дальнейшем функцию $\Phi(\eta, \xi)$ мы будем вычислять в больцмановском приближении, в то время как на других этапах вычислений будем удерживать статистические факторы. Тогда в больцмановском приближении $\beta_0 \approx 1/2$, и мы получим для функции Φ :

$$\dot{\Phi}(\mathbb{P}, t) = \frac{1}{2\tau_0} \frac{\sqrt{\eta}}{\sqrt{\eta + \xi^2}}, \quad \Phi(\xi, \eta) = \frac{1}{2} \left(\sqrt{\eta} \sqrt{\eta + \xi^2} - \xi^2 \ln \frac{\sqrt{\eta} + \sqrt{\eta + \xi^2}}{\xi} \right), \quad (11)$$

Подставляя затем функцию $\Phi(\xi, \eta)$ в выражение (2) для отклонения функции распределения X-бозонов от равновесия и переходя к новым переменным получим:

$$\delta f_0(\xi, \eta, \sigma) = \frac{1}{2} \sigma \exp(-\Phi(\xi, \eta)) \int_0^\eta \frac{\exp(\Phi(\xi, \eta') + \sigma \sqrt{\eta' + \xi^2}) d\eta'}{[1 + \exp(\sigma \sqrt{\eta' + \xi^2})]^2 \sqrt{\eta' + \xi^2}}. \quad (12)$$

Используя выражение для конечной концентрации барионов (5), а также выражение для плотности энтропии (8), получим искомое выражение для конечной плотности удельной энтропии, приходящейся на один барион:

$$\delta_S = \frac{N_b(\infty)}{S} = \frac{30\Delta r \mathcal{N}_X}{\pi^4 T^3 \mathcal{N}} \int_0^\infty \exp\left(-\int_t^\infty \Psi(t') dt'\right) G(t) dt, \quad (13)$$

²Введенный в [3] параметр σ равен квадрату σ , используемого в настоящей работе.

где функции $\Psi(t)$, $G(t)$ и $\delta f(\mathbb{P}, t)$ определяются выражениями (6), (7) и (2), соответственно. Перейдем от временной переменной t и импульсной \mathbb{P} к безразмерным временной переменной η и импульсной переменной ξ и выберем нормировку масштабного фактора на ультрарелятивистской в целом стадии расширения (9). Тогда получим выражение для удельной энтропии:

$$\delta_S = \frac{15\Delta r \mathcal{N}_X}{2\pi^6 \mathcal{N}} \sigma^3 \int_0^\infty d\eta e^{-\Theta(\eta)} \sqrt{\eta} \int_0^\infty \frac{\xi^2 d\xi}{\sqrt{\eta + \xi^2}} \delta f(\eta, \xi), \quad (14)$$

где $\Theta(\eta) = \int_t^\infty \Psi(t) dt$. Так как $\dot{\Phi} \geq 0$, то и $\Psi(t) > 0$, таким образом, $\Theta(\eta)$ - неотрицательная монотонно убывающая функция: $\frac{d\Theta}{d\eta} \leq 0$. При этом:

$$\delta f(\eta, \xi) = e^{-\Phi(\eta, \xi)} \int_0^\eta d\eta' e^{\Phi(\eta', \xi)} \frac{\partial}{\partial \eta'} \frac{1}{e^{\sigma\sqrt{\eta'+\xi^2}} - 1}. \quad (15)$$

Переходя к новым переменным, получим при больцмановской аппроксимации функции $\Phi(x)$ выражение для функции $\Psi(\eta)$, в котором уже учтен статистический фактор:

$$\Psi(\eta) = \frac{\sqrt{\eta} N_X \sigma^3}{2\pi^2 \tau_0} \int_0^\infty \frac{1}{e^{\sigma\sqrt{\eta+\xi^2}} - 1} \frac{\xi^2 d\xi}{\sqrt{\eta + \xi^2}} \quad (16)$$

Введем новые переменные x и z : $\xi = \sqrt{\eta} \operatorname{sh}(x)$, $z = \sigma\sqrt{\eta}$. Тогда получим:

$$\Psi(\eta) = \frac{N_X}{\pi^2 \tau_0} z^3 \int_0^\infty \frac{\operatorname{sh}^2 t dt}{e^{z \operatorname{ch} t} - 1}.$$

Вычисляя интеграл $\int \Psi dt$ и меняя порядок интегрирования в полученном выражении, найдем:

$$\Theta(\eta) = \frac{\pi^3 N_X}{120 \sigma^2} \Xi(\sqrt{\eta} \sigma), \quad (17)$$

где введена монотонно убывающая функция $\Xi(x)$:

$$\Xi(x) = 1 - \frac{80}{\pi^5} x^3 \int_0^\infty \operatorname{th}^2 x D(x \operatorname{ch} z) dz, \quad (18)$$

изменяющаяся на интервале $0 \geq \Xi(x) \leq 1$. и функция $D(x)$:³

$$D(x) = \frac{3}{x^3} \int_0^x \frac{t^3}{e^t - 1} dt,$$

имеющая следующие асимптотики:

$$D(x) \approx \begin{cases} 3 \sum_0^\infty \frac{B_n}{(n+3)n!} x^n, & x \lesssim 1; \\ \frac{\pi^4}{5x^3} - 3 \left(1 + \frac{3}{x} + \frac{6}{x^2}\right) e^{-x}, & x \gg 1, \end{cases} \quad (19)$$

где B_n - числа Бернулли. График функции $D(X)$ показан на Рис. 1.

³Функция $D(x)$ связана с функциями Дебая (см., например, [8]).

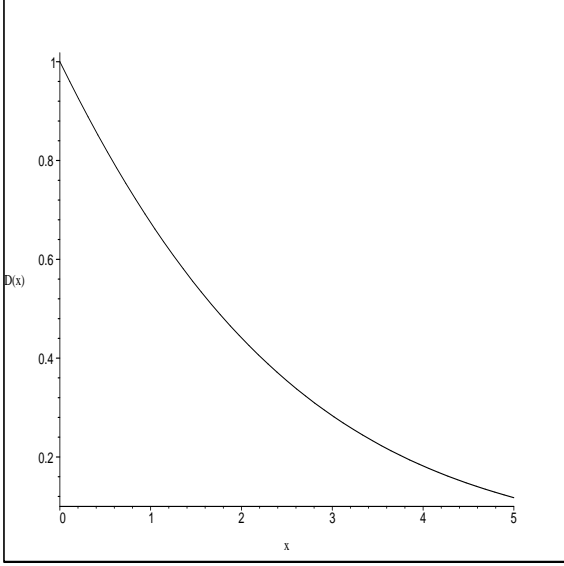


Рис.1. График функции $D(x)$, построенный с помощью пакета Maple на аппроксимациях вида (19).

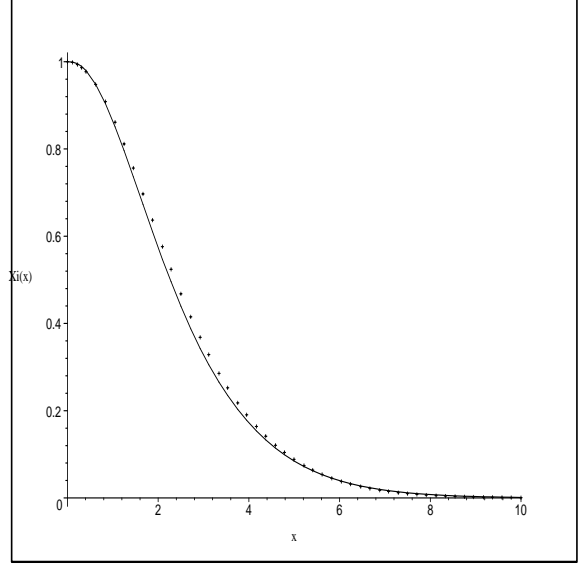


Рис.2. График функции $\Xi(x)$. Точками обозначен график экстраполирующей функции $F(x)$ (20).

Для вычислений с функциями $D(x)$ и $\Xi(x)$ была создана специальная библиотека в пакете символьной математики Maple, в которой определены процедуры быстрого вычисления этих функций с помощью их различных аппроксимаций. График функции $\Xi(x)$ показан на Рис.2. На отрезке $[0, 10]$ функция $\Xi(x)$ хорошо экстраполируется функцией

$$F(x) = \frac{e^{-\alpha x^2}}{1 + \beta x^2} \quad (20)$$

с параметрами $\alpha = 0,05$, $\beta = 0,09$.

Отклонение от равновесия, $\delta f(\eta, \xi)$

Перейдем теперь к вычислению функции $\delta f(\eta, \xi)$. Как нетрудно видеть, функция $\Phi(\eta, \xi)$ является медленно меняющейся функцией, так как $\Phi'_\eta < 1/2$, причем: $\lim_{\eta \rightarrow 0} e^{\Phi(\eta, \xi)} = 1$, и в широких пределах изменения переменных η, ξ $\exp(\Phi(\eta, \xi)) \approx 1$. Временная же производная равновесной функции распределения бесконечно растет в области $\sigma\sqrt{\eta + \xi^2} \rightarrow 0$; при больших же значениях этого аргумента эта производная мала. Таким образом, главный вклад в отклонение функции распределения от равновесия дают значения переменных η, ξ в области $\sqrt{\eta + \xi^2} \lesssim \sigma^{-1}$, в которой $\exp(\Phi)$ можно считать примерно постоянной. Таким образом, проводя интегрирование по частям в (15), найдем приближенно:

$$\delta f(\eta, \xi) \simeq \frac{1}{e^{\sigma\xi} - 1} - \frac{e^{-\Phi(\eta, \xi)}}{e^{\sigma\sqrt{\eta + \xi^2}} - 1}. \quad (21)$$

Подставляя эту функцию во внутренний интеграл (14) и вводя функцию:

$$Df(\eta, \sigma) = \sigma^2 \int_0^\infty \frac{\xi^2 d\xi}{\sqrt{\eta + \xi^2}} \left[\frac{1}{e^{\sigma\xi} - 1} - \frac{e^{-\Phi(\eta, \xi)}}{e^{\sigma\sqrt{\eta + \xi^2}} - 1} \right], \quad (22)$$

получим:

$$\delta_S = \frac{15\Delta r \mathcal{N}_X}{2\pi^6 \mathcal{N}} \sigma \int_0^\infty d\eta e^{-\Theta(\eta)} \sqrt{\eta} Df(\eta, \sigma). \quad (23)$$

Переходя к численному интегрированию в (23), заметим, что неудобные для численного интегрирования интегралы как раз содержатся в функции $Df(\eta, \sigma)$, - прямое применение численного интегрирования наталкивается на проблему расходимости. Поэтому первоначально интеграл (22) необходимо преобразовать к удобному для численного интегрирования виду. Для этого перепишем интеграл (22) в эквивалентной форме:

$$Df(\eta, \sigma) =$$

$$= \sigma^2 \left[\int_0^\infty \frac{\xi^2 d\xi}{\sqrt{\eta + \xi^2}} \left(\frac{1}{e^{\sigma\xi} - 1} - \frac{1}{e^{\sigma\sqrt{\eta + \xi^2}} - 1} \right) + \int_0^\infty \frac{\xi^2 d\xi}{\sqrt{\eta + \xi^2}} \frac{1 - e^{-\Phi(\eta, \xi)}}{e^{\sigma\sqrt{\eta + \xi^2}} - 1} \right].$$

Вычисляя первую часть интеграла с помощью подстановок $\xi = \sqrt{\eta}x$, $\xi = \sqrt{x^2 - 1}$, найдем:

$$\begin{aligned} & \int_0^\infty \frac{\xi^2 d\xi}{\sqrt{\eta + \xi^2}} \left(\frac{1}{e^{\sigma\xi} - 1} - \frac{1}{e^{\sigma\sqrt{\eta + \xi^2}} - 1} \right) = \\ & = \eta \left[\int_0^1 \frac{x^2 dx}{\sqrt{1 + x^2}} \frac{1}{e^{\sigma\sqrt{\eta}x} - 1} + \int_1^\infty \frac{dx}{\sqrt{\eta + x^2}} \frac{1}{e^{\sigma\sqrt{\eta}x} - 1} \right]. \end{aligned}$$

Аналогично преобразуем теперь часть B интеграла. Подставляя в этот интеграл выражение для $\Phi(\eta, \xi)$ и производя подстановку $\xi = \sqrt{\eta}x$, и разлагая экспоненту в ряд Тейлора при малых значениях η , получим приближенно:

$$B \approx \frac{1}{2}\eta^2 \int_0^\infty \frac{x^2 dx}{\sqrt{1 + x^2}} \frac{\sqrt{1 + x^2} - x^2 \ln \frac{1 + \sqrt{1 + x^2}}{x}}{e^{\sigma\sqrt{\eta}\sqrt{1 + x^2}} - 1}.$$

Численное интегрирование этих выражений уже не встречает затруднений. С учетом сделанных выше замечаний в пакете Maple была создана библиотека специальных процедур ускоренного вычисления функции $Df(\eta, \sigma)$ при любых значениях переменных.

Прежде, чем перейти к изложению результатов, произведем удобную нормировку функции δ_S . Как отмечалось в [5], ранее была получена оценка удельной энтропии на один барион:

$$\delta_S^0 = \frac{45\zeta(3)}{4\pi^4} \frac{N_X}{N} \Delta r. \quad (24)$$

Поэтому будем соотносить наши результаты к этой оценке, вводя относительную величину:

$$\Delta_S = \frac{\delta_S}{\delta_S^0} \quad (25)$$

- приведенную удельную энтропию. Проводя численное интегрирование в выражении (23) с помощью указанных процедур в пакете Maple, получим семейство графиков функции $\Delta_S(\sigma)$. На Рис. 3 показаны рассчитанные графики зависимости $\Delta_S(\sigma)$ при различных значениях N_X - числа типов X - бозонов, которое является параметром модели взаимодействий.

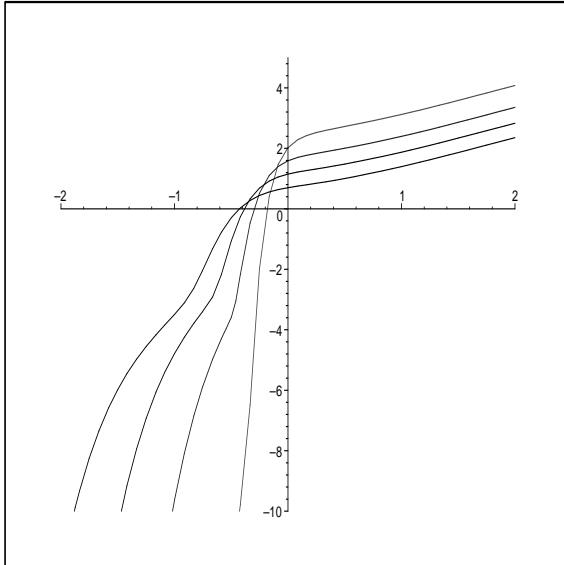


Рис.3. Приведенная удельная энтропия на один барион, $\lg \Delta_S(\sigma, N_X)$, в зависимости от числа X -бозонов, N_X . По оси абсцисс отложены значения $\lg \sigma$. В правой части рисунка снизу вверх: $N_X = 1$; $N_X = 3$; $N_X = 10$; $N_X = 53$.

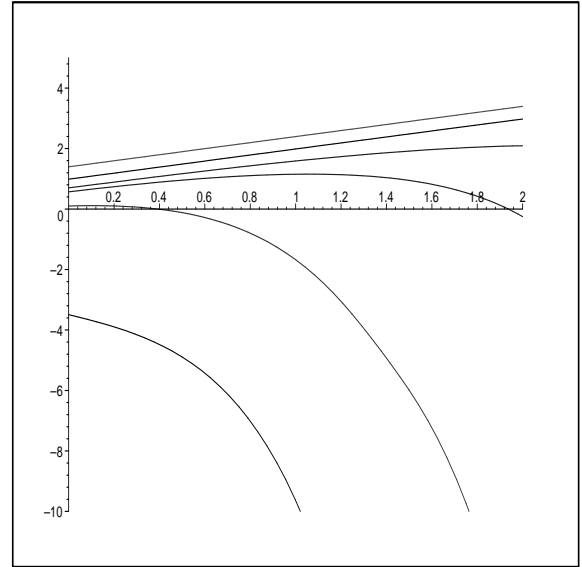


Рис.4. Зависимость приведенной удельной энтропии на один барион от числа типов X - бозонов. Снизу вверх: $\sigma = 0, 1$; $\sigma = 0, 4$; $\sigma = 0, 7$; $\sigma = 1$; $\sigma = 3$; $\sigma = 10$. По оси абсцисс отложены значения $\lg N_X$, по оси ординат - $\lg \Delta_S$.

Библиотека процедур вычисления специальных функций

Пакет символьной математики Maple хорошо вычисляет интегралы, в том числе, и определенные. Однако, при условиях плохой сходимости интегралов, наличия в подынтегральных выражениях различных особенностей, неприятных для численных расчетов, процесс интегрирования может существенно затянуться, привести к зависанию программы и даже к ошибкам в случае появления в подынтегральном выражении слишком больших или слишком малых чисел. В ряде случаев программа Maple отказывается проводить интегрирование, если, например, подынтегральное выражение расходится внутри или на границах промежутка интегрирования, хотя определенный интеграл по всем признакам сходится. Именно с такими типами интегралов мы и столкнулись при вычислениях кинетических параметров теории. В этих случаях необходимо комбинировать аналитические и численные методы и там, где это необходимо, заменять функции некоторыми аппроксимациями.

Создадим сначала необходимую в дальнейшем контролируемую процедуру вычисления определенного интеграла по формуле трапеций:

```
> YuFunctions [Integral]:=proc(a,b,N,n,x,f)
> local x0,i,F: x0:=a+(b-a)/N*(i-1/2):
> F:=evalf(subs(x=x0,f),n):evalf((b-a)/N*sum(F,i=1..N),n):end:
```

где введены параметры: a - нижний предел интегрирования, b - верхний, N - количество интервалов разбиения, n - удерживаемое число значащих цифр, x - переменная интегрирования, f - подынтегральная функция этой переменной.

Первым делом создадим приемлемую процедуру вычисления введенной нами функции D(x):

```
> D(x)=3/x^3*Int(t^3/(e^t-1),t=0..x);
```

Рассмотрим асимптотики этой функции; для этого разложим в ряд Тейлора подынтегральное выражение, используя известную из теории специальных функций формулу (см., например, [9]):

```
> t/(exp(t)-1) = sum(bernoulli(n)*t^n/n!,n = 0 .. infinity):
```

где $\text{bernoulli}(n) = B_n$ - числа Бернулли. Интегрируя далее это соотношение, получим:

```
> D(x) = 3*sum(x^n*bernoulli(n)/((n+3)*n!),n=0..infinity);
```

При больших значениях аргумента, $x \gg 1$, мы можем использовать другое разложение, представляя интеграл в виде:

```
> D(x) = 3/(x^3)*Int(t^3/(exp(t)-1),t = 0
> .. infinity)-
> 3/(x^3)*Int(t^3/(exp(t)-1),t = x .. infinity):
```

Поэтому введем эту функцию как кусочно-заданную с помощью команды Maple `piecewise(xx,f1(x),f2(x))`, где `xx`- некоторое алгебраическое условие, при котором `f=f1`, во всех остальных случаях `f=f2`:

```
> YuFunctions [Db]:=proc(x) local n:
> evalf(piecewise(x<3,3*sum(x^n*bernoulli(n)/((n+3)*n!),n=0..12),
> Pi^4/(5*x^3)
> -3/x^3*YuFunctions [Integral] (x,40+x,400,6,t,t^3/(exp(t)-1)),6):
> end:
```

Проверим, как проводятся вычисления с помощью введенной процедуры:

```
> YuFunctions [Db] (2);YuFunctions [Db] (3);YuFunctions [Db] (20);
0.00243521
```

Прямые же вычисления этой функции с помощью стандартной Maple-команды проводятся на порядок дольше и дают неправильный результат - интеграл оказывается комплексной величиной. Следует отметить, что появление мнимой части при вычислениях заведомо вещественных функций от заведомо вещественных аргументов - достаточно распространенная проблема в символьной математике, по-видимому, связанная с процедурой определения специальных функций на комплексной области в ядрах этих программ, скрытых от пользователей. Проблемы подобного рода и вынуждают исследователей создавать свои пользовательские библиотеки, переопределяя стандартные процедуры пакетов символьной математики, удобство которых неоспоримо для пользователей в других областях. Следует заметить, что приведенный результат получен в пакете Maple версии 8.0, но точно такой же результат получается и в версии 9.5.

Перейдем к созданию процедуры вычисления функции $\Xi(z)$:

```
> Xi(z) =
> 1-(80*z^3/(Pi^5))*Int(tg(x)^2*D(z*ch(x)),x = 0 ..
> infinity):
```

При вычислении этой функции в области больших значений z мы сталкиваемся с необходимостью интегрировать выражение от экспоненциально малых значений функции по большому промежутку. Вклад этих значений аргумента в конечный результат стремится к нулю, поэтому с требуемой точностью мы

представим функцию $\Xi(z)$ также в виде кусочно-заданной функции, приравнивая ее значения нулю при $\Xi(z) < 0,001$.

```
> YuFunctions[Xi]:=proc(x):
> evalf(piecewise(x<10,1-80/Pi^5*x^3*
> YuFunctions[Integral](0,20,100,4,t,
> tanh(t)^2*YuFunctions[Db](x*cosh(t))),0),6):end:
```

Отклонение функции распределения X-бозонов от равновесия описывается интегралом вида:

```
> Df(t,s) = s^2*Int([(1/(exp(s*x)-1)-
> exp(1/2*(sqrt(t)*sqrt(t+x^2)-x^2*ln((sqrt(t)+sqrt(t+x^2))/x)))
> /((exp(s*sqrt(t+x^2))-1))] *x^2/(sqrt(t+x^2)),x = 0 .. infinity):
```

Ввиду громоздкости выражений создадим сначала промежуточные процедуры вычисления входящих в интеграл функций:

```
> YuFunctions[Phi]:=proc(t,x):1/2*
> (sqrt(t)*sqrt(t+x^2)-
> x^2*ln((sqrt(t)+sqrt(t+x^2))/x)):end:
> YuFunctions[df]:=proc(t,x,s):
> 1/(exp(s*x)-1)-exp(-YuFunctions[Phi](t,x))/
> (exp(s*sqrt(t+x^2))-1):end:
```

Введем теперь с помощью процедуры интегрирования процедуры и процедуры вычисления кусочно-заданной функции процедуры вычисления интегралов, предварительно для устранения проблемы сходимости разбив промежуток интегрирования и заменяя бесконечное значение на границе интегрирования значением $x=20$, учитывая что в подынтегральное выражения входят экспоненты и что $e^{20} \sim 10^9 \gg 1$.

```
> YuFunctions[J0]:=proc(z) local x:
> evalf(piecewise(z<0.1,1/z*(sqrt(2)-1),
> YuFunctions[Integral](0,1,100,6,
> x,x^2/(sqrt(1+x^2)*(exp(z*x)-1))),6):end:
> YuFunctions[J2]:=proc(z) local x:
> 1/2*YuFunctions[Integral](0,20,100,6,x,x^2/(sqrt(1+x^2)*
> (exp(z*x)-1))*(sqrt(1+x^2)-x^2*ln((1+sqrt(1+x^2))/(x)))
> :end:
```

Таким образом, отклонение функции распределения от равновесия можно описать процедурой:

```
> YuFunctions[Df]:=proc(eta,s) local x:
> s^2*eta*(YuFunctions[J0](sqrt(eta)*s)+
> YuFunctions[J1](sqrt(eta)*s)+
> YuFunctions[J2](s*sqrt(eta))):end:
```

Для упрощения расчетов экстраполируем теперь функцию $\Xi(z)$ функцией $F(z)$:

```
> YuFunctions[Xi1]:=proc(x):
> exp(-0.05*x^2)/(1+0.09*x^2):end:
> YuFunctions[Xi1Exp]:=proc(N,s,t):
> evalf(exp(-Pi^3*N/(120*s^2)*
> YuFunctions[Xi1](s*sqrt(t)))):end:
```

и создадим теперь процедуру вычисления удельной энтропии, $ds(s,N)$ а также ее приведенного значения, $Ds(s,N)$:

```
> YuFunctions[ds]:=proc(s,N) local FF, GG:
> FF:=sqrt(t)*exp(-Pi^3*N/(120*s^2))*YuFunctions[Xi1](s*sqrt(t)):
> GG:=FF*YuFunctions[Df](t,s): evalf(15*N/(2*Pi^6)*s*
> YuFunctions[Integral](0,40,200,4,t,GG)):end:
> YuFunctions[Ds]:=proc(s,N):4*Pi^4/(45*Zeta(3))*
> YuFunctions[ds](s,N):e
> nd:
```

Сохраним теперь созданные процедуры в пользовательской библиотеке YuFunctions, сохраняемой в файле KinFunc.m:

```
> save(YuFunctions,'KinFunc.m');
```

Обращаясь к созданной библиотеке процедур, можно строить графики зависимости приведенной энтропии от параметров процесса.

Литература

- [1] Игнатъев Ю.Г. Релятивистская кинетика бариогенезиса в горячей Вселенной. *Современные теоретические и экспериментальные проблемы теории относительности и гравитации*. Тезисы докл. Всесоюзной конференции, Москва, 1984, с. 19-21

- [2] Игнатъев Ю.Г. Релятивистская кинетика бариогенезиса в горячей Вселенной. *Астроном. журнал*, 1985, т. 62, с. 633-638
- [3] Игнатъев Ю.Г. Кинетическая модель бариогенезиса в симметричной горячей Вселенной. *Классические и квантостатистические проблемы релятивистской теории гравитации*, Межвузовский сб. научных трудов, Казань, 1991, Изд-во КГПИ, с. 6-21
- [4] Игнатъев Ю.Г. Релятивистские кинетические уравнения для неупруго взаимодействующих частиц в гравитационном поле. *Изв. ВУЗов, Физика*, 1983, т.26, No 8, с. 19-23
- [5] Yu.G. Ignatyev, K. Alsmadi. *Gravitation & Cosmology*, **11**, No 3, 252 (2005).
- [6] Yu.G. Ignatyev, K. Alsmadi. *Gravitation & Cosmology*, **11**, No 4, 363 (2005)
- [7] Лебедев Н.Н. Специальные функции и их приложения.// *ГИФМЛ*, Москва-Ленинград, 1963
- [8] E. Janke, F. Emde, F.Lösch, *Tafeln Höherer Funktionen*, B.G.Teubner Verlagsgesellschaft, Stuttgart, 1960
- [9] А.Д.Прудников, Ю.А.Брычков, О.И.Маричев, *Интегралы и ряды. Дополнительные главы*, М., наука, 1986.